

## بررسی اثر مهار بازویی-کلاهک خرپایی بر رفتار سازه‌های بلند فولادی با هسته بتنی و پلان دایره‌ای

علی خیرالدین<sup>۱</sup>، ربابه عمرانی<sup>۲\*</sup>

۱- استاد، دانشکده مهندسی عمران، دانشگاه سمنان، سمنان، ایران و استاد مدعو، دانشگاه تگزاس، تگزاس، امریکا

۲- دانشجوی دکتری سازه، دانشکده مهندسی عمران، دانشگاه سمنان، سمنان، ایران

### چکیده

یکی از مهمترین پارامترهای کنترل کننده طراحی در سازه‌های بلند، تغییرمکان جانبی سازه است. سیستم‌های مقاوم مختلف سازه‌ای جهت تحمل بارهای جانبی و ثقلی پیشنهاد شده است. یکی از مدل‌های مناسب در طراحی سازه‌های بلند مدل سازه‌ای با هسته بتنی است که در آنها هسته بتنی عامل اصلی تحمل بار جانبی و کنترل کننده تغییرمکان جانبی سازه می‌باشد. با افزایش ارتفاع سازه به علت کاهش شدید سختی هسته، تاثیر هسته به تنها یی در طبقات بالاتر در کنترل تغییرمکان جانبی کاهش می‌یابد. برای رفع این ضعف مهم از مهار بازویی و کلاهک خرپایی علاوه بر هسته بتنی استفاده می‌گردد. در این مقاله سه سازه فولادی ۳۰ و ۴۰ و ۵۰ طبقه با ارتفاع‌های ۹۰، ۱۲۰ و ۱۵۰ متر با پلان دایره‌ای به شعاع ۱۶ متر مورد بررسی قرار گرفت و مدل‌های قاب فولادی با هسته بتنی، مهار بازویی و کلاهک خرپایی مالسازی، تحلیل خطی، طراحی و بررسی شد. نتایج نشان می‌دهد با استفاده از مهار بازویی و کلاهک خرپایی در سازه فولادی با هسته بتنی، زاویه دریفت سازه به طور قابل ملاحظه ای کاهش می‌یابد در حالیکه وزن مصالح مصرفی تغییر نمی‌کند. همچنین تنش در سازه کنترل و تعدیل شده و تعداد مفاصل پلاستیک و سطح عملکرد سازه افزایش یافت.

**کلمات کلیدی:** قاب فولادی، هسته بتنی، کلاهک خرپایی، مهار بازویی، پلان دایره‌ای

\*نویسنده مسئول: ربابه عمرانی.

پست الکترونیکی: omrani.robab@yahoo.com

تاریخ دریافت مقاله: ۱۳۹۴/۱۰/۰۹، تاریخ پذیرش مقاله: ۱۳۹۵/۰۳/۱۶

ساخت ساختمان‌های بلندمرتبه در سراسر دنیا به سرعت در حال افزایش است و این روند به رشد سریع اقتصادی و گسترش روزافزون شهرها و افزایش تقاضا برای فضا در مناطق پر جمعیت، سرعت بیشتری بخشیده است. همانطور که آسمان‌خراش‌ها به ارتفاع بلندتری می‌رسند، تبدیل به نمادی از قدرت و برتری، پیشرفت تکنولوژی و توسعه اقتصادی کشورها می‌شوند. از این رو استفاده از سیستم‌های جدید سازه‌ای و تکنولوژی نوین ساخت با هدف دستیابی به ساختمان‌هایی با ارتفاع هر چند بلندتر مدنظر طراحان و مهندسان قرار گرفته است. مطالعه تغییر مکان جانبی و رفتار ساختمان‌های بلند مرتبه از جمله زمینه‌های مورد تحقیق مهندسان سازه است. در طراحی سازه‌های بلند، تغییر مکان جانبی تحت اثر نیروی باد یا زلزله از جمله پارامترهای اساسی کنترل کننده طرح است. یکی از سیستم‌های متداول در ساختمان‌های بلند، بکارگیری هسته بتنی مسلح به دلیل سرعت و سهولت اجرای آن است همچنین انواع سیستمهای مهار جانبی از جمله مهار بازویی<sup>۱</sup> و کلاهک خرپایی<sup>۲</sup> در ترکیب با هسته بتنی در سازه‌های بلند مرتبه میتواند قابل توجه قرار گیرد [1].

## ۲- تاریخچه تحقیقات

قاب مهاربندی شده و یا ساختمان‌های مرکب از قاب و دیواربرشی یا مهاربند، برای ساختمان‌های با بیش از ۴۰ طبقه بازدهای مناسبی ندارند، زیرا برای این که مهاربندی به قدر کافی سخت و قوی باشد، مقادیر زیادی مصالح لازم می‌گردد. استفاده از مهارهای بازویی افقی که قاب را به هسته می‌بنند می‌تواند کارآیی سازه را حدود ۳۰ درصد افزایش دهد. سیستم با مهار بازویی، شکل اصلاح شده قاب‌های با مهاربند و قاب‌های با دیواربرشی می‌باشد و در سازه‌های فولادی و مرکب استفاده می‌گردد. به عنوان یک سیستم موثر و ابتکاری، سیستم با مهار بازویی متشکل از یک هسته مرکزی (مهاربندی یا دیواربرشی) با خرپاهای بازویی یا شاه تیرهایی است که هسته را به ستون‌های خارجی متصل می‌کند [2]. علاوه بر آن ستونهایی در انتهای مهارها جای داده شده، که دیگر ستون‌های پیرامونی را برای کمک به محدود کردن چرخش مهارها با یک دیوار عمیق در ساختمانهای بتنی و یا با مهاربندی‌های قطری به ارتفاع یک یا دو طبقه در ساختمان‌های فولادی، به یکدیگر اتصال می‌دهد که به آن کمربند خرپایی گفته می‌شود، در این حالت اگر سازه تحت بارگذاری جانبی قرار گیرد، مجموعه قیود بازوها و ستونها در برابر دوران هسته ممانعت می‌کند. اولین ساختمنی که با استفاده از این سیستم سازه ای ساخته شده است، ساختمن فرست ویسکانسین ستر واقع در میلواکی در شهر نیویورک، با سازه فلزی در سال ۱۹۷۴ می‌باشد (شکل ۱). این ساختمان با ۴۲ طبقه و ارتفاع ۱۸۳ متر، کاربری بانک و اداری، دارای سه کمربند خرپایی در پایین، وسط و بالای ساختمان است.



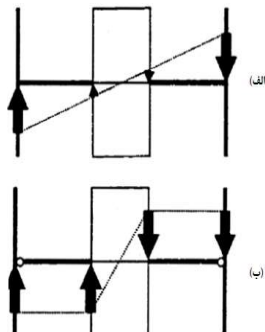
شکل ۱: نمای خارجی ساختمان فرست ویسکانسین ستر [1].

1- Outrigger  
2- Belt truss

ساختمان وان هوستون ستر در شهر هوستن دارای ۴۸ طبقه با ارتفاع کلی ۲۰۷/۵ متر، دارای یک مهار بازویی دو طبقه ای بین سی و سومین و سی و پنجمین طبقه می‌باشد. ساختمان پلیس ویکتوریا در شهر مونترآل با ۴۷ طبقه در سال ۱۹۶۴ ساخته شده است. ارتفاع ساختمان ۱۹۰ متر است و اولین ساختمان بتنی به مهار بازویی است مهار بازویی در ۴ تراز با مهاربندهای ضربه‌ای اجرا شده است که این مهارهای بازویی هسته را به ستون خارجی متصل می‌کنند [3]. شکل ۲ ساختمان مرکب ۸۸ طبقه جین مائو، ساخته شده در سال ۱۹۹۹ در چین را نشان می‌دهد. مهاربازویی را می‌توان با اتصالات مفصلی و یا اتصالات صلب به ستون‌های پیرامونی متصل کرد. نمودارهای تنش در شکل ۳ برتری اتصالات مفصلی را نسبت به اتصالات صلب نشان میدهد. اگر مهارها به ستون‌ها به صورت صلب متصل باشند، تمام سیستم به صورت واحد عمل می‌کند و در نتیجه فقط درصد کمی از ظرفیت تحمل لنگر هسته مورد استفاده قرار می‌گیرد، زیرا هسته مقاوم نزدیک تار خشی مقطع ساختمان قرار دارد. این نکته در نمودار الف شکل ۳ با اتصال صلب که در آن تنش‌ها پیوسته می‌باشد، مشاهده می‌گردد. ظرفیت تحمل لنگر هسته را به نحو بهتری قابل استفاده می‌سازد و از ستون‌های خارجی نیز مانند سیستم صلب استفاده می‌شود (نمودار ب شکل ۳) چون اتصالات مفصلی فقط نیروی برش را انتقال میدهند در حالی که لنگر خمی در ستون‌ها ایجاد نگردیده است و بدین لحاظ، ظرفیت بار محوری ستون‌ها افزایش می‌یابد.



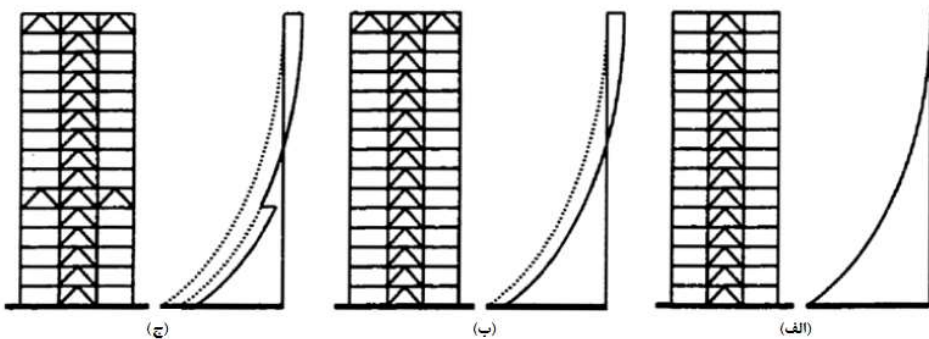
شکل ۲: نمای خارجی ساختمان جین مائو [1].



شکل ۳: توزیع تنش در اعضای کناری و هسته مقاوم: (الف) مهارهای بازویی با اتصالات صلب، ب) مهارهای بازویی با اتصالات مفصلی [1].

رفتار یک سازه مرکب از هسته و مهارهای بازویی تحت بارگذاری جانبی در شکل ۴ مشاهده می‌گردد. هنگامی که ستونهای پیرامونی به هسته سازه با اتصال مفصل متصل شده باشد شکل (۴-الف)، هسته همانند یک تیر طره‌ای عمل نموده و انتهای آن به آزادی دوران می‌نماید. در این حالت ستونهای پیرامونی دوران ناچیزی را تحمل می‌کنند، اما اگر ستونهای پیرامونی به وسیله یک مهار بازویی به هسته شده باشند شکل (۴-ب)، از هر گونه دورانی در بالای سیستم جلوگیری می‌شود، زیرا نیروهای قائم ایجاد شده در ستون‌های پیرامونی، هسته را توسط مهار بازویی مهار می‌کنند. گیرداری جزیی که در بالای سیستم ایجاد می‌شود، در منحنی لنگر منعکس گردیده است. در این حالت رفتار این سیستم مشابه یک تیر طره‌ای خالص نبوده، زیرا در بالا و در پایین دارای گیرداری می‌باشد. لنگر خمی در پای ساختمان کمتر

از سیستم شکل (۴-الف) میگردد که این نیز از مزایای استفاده از مهارهای بازویی میباشد. با افزودن مهاربازویی در طبقات میانی ساختمان، مقاومت و سختی سیستم افزایش بیشتری پیدا میکند [4,2].



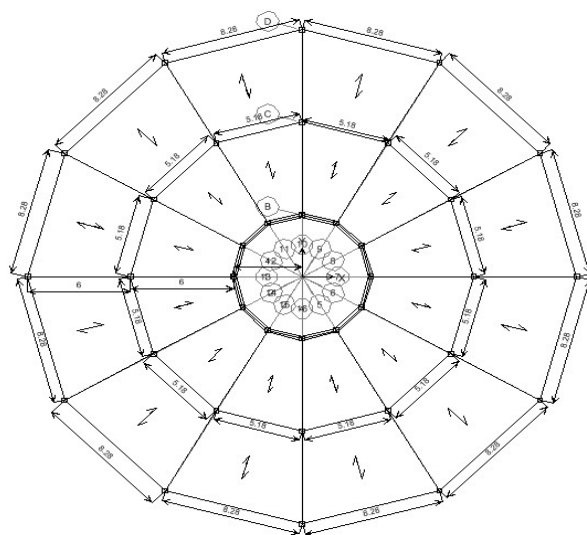
شکل ۴ : عملکرد هسته مرکزی و مهارهای بازویی [1].

در سال ۲۰۱۰ تغییر شکل جانبی یک ساختمان ۶ طبقه با کاربرد یک، دو و سه مهار بازویی در ارتفاع سازه مورد بررسی قرار گرفت و به ترتیب کاهش ۳۴، ۴۲ و ۵۱ درصد تغییر شکل جانبی را در مقایسه با سازه بدون مهار جانبی مشاهده گردید [5]. در سال ۲۰۱۳ موقعیت بهینه کمربند خرپایی در ساختمان بلند بر اساس ماقریم انژری کرنشی کمربند خرپایی مورد بررسی قرار گرفت. اثر کمربند، کلاهک خرپایی و سیستم هسته بتنی در سیستم لوله‌ای تحت بارگذاری جانبی با مدلسازی فنر چرخشی در موقعیت مهار بازویی براساس روش انژری بررسی شد. موقعیت بهینه سیستم کمربند خرپایی برای بار متمرکز در بالای سازه، توزیع یکنواخت و مثلثی بار جانبی در ارتفاع سازه به ترتیب در ۰/۶۷۷، ۰/۴۴۱ و ۰/۴۹۰ ارتفاع از تراز پایه نتیجه شد [6]. همچنین موقعیت بهینه سیستم مهار بازویی در سازه برای ساختمان بتن مسلح تحت بار باد و زلزله بررسی و موقعیت بهینه مهار بازویی در وسط ارتفاع سازه مشاهده شد [7]. در راستای مطالعات انجام شده در سال ۲۰۱۳ موقعیت بهینه مهار بازویی جهت افزایش عملکرد سازه ای ساختمان فولادی بلند مرتبه مورد بررسی قرار گرفت. نتایج نشان داد که موقعیت بهینه برای سیستم مهار بازویی جهت کنترل تغییرمکان جانبی در بالای یک سوم ارتفاع سازه است. همچنین موقعیت بهینه برای مهاربازویی جهت مقاومت در برابر انهدام پیش روونده، نزدیکترین موقعیت محتمل به شکست ناگهانی ستون و در پایین یک سوم ارتفاع سازه نتیجه شد. جهت کنترل و مقاومت در برابر هر دو پارامتر تغییرمکان جانبی و انهدام پیشرونده توزیع مهار بازویی در پایین و بالای یک سوم ارتفاع سازه پیشنهاد شد [8]. همچنین نتایج مطالعات موقعیت بهینه مهاربازویی در ساختمان‌های بلند مرتبه بتنی، نشان داد که استفاده از مهار بازویی در فواصل منظم از بالای ساختمان در کاهش تغییرمکان جانبی کلی موثر است و موقعیت بهینه در ارتفاع ۰/۴۶ از پایین ساختمان میباشد، موقعیتی که نیروی محوری و ممان‌های ساختمان نسبت به بقیه موقعیتها حداقل است [9].

### ۳- مدلسازی

مدل‌های سازه ای مورد مطالعه سازه‌های فولادی با ۳۰، ۴۰ و ۵۰ طبقه با هسته بتنی در نظر گرفته شده است. سیستم مقاوم اصلی در برابر بار جانبی هسته بتنی بوده و اتصال قاب فولادی در اطراف هسته بتنی دایره‌ای شکل به هسته بتنی، مفصلی است پلان مدل‌های سازه ای مورد مطالعه با تعداد طبقات ۳۰، ۴۰ و ۵۰ طبقه بر اساس شکل ۵ در نظر گرفته شده است. شعاع هسته بتنی ۴ متر در مرکز پلان و دهانه‌های قاب‌های فولادی ۶ متری بوده و در اطراف هسته بتنی مركزی با زاویه ۳۰ درجه نسبت به هم قرار گرفته‌اند. ارتفاع هر طبقه ۳ متر در نظر گرفته شده است. بارگذاری سازه برای بار مرده بر اساس جزئیات سقف عرضه فولادی برابر ۳۸۰ کیلوگرم در واحد سطح و برای بار زنده با کاربری مسکونی و اعمال بار معادل تیغه بر اساس مبحث ۶ مقررات ملی ساختمان برابر ۳۵۰ کیلوگرم در واحد سطح در نظر گرفته شد. بارگذاری جانبی سازه بر اساس ضوابط استاندارد ۲۸۰۰ ویرایش چهارم انجام شد [10]. در مقایسه برش پایه ناشی از بار جانبی باد و

زلزله، برش پایه ناشی از بار زلزله بیشتر از بار باد نتیجه شد. بدلیل ارتفاع مدل‌های سازه‌ای بالاتر از ۵۰ متر، بارگذاری جانبی بر اساس طیف طرح ایران و تحلیل دینامیکی طیفی انجام شد. مدل‌سازی، تحلیل و طراحی مدل‌های سازه‌ای مورد مطالعه توسط نرم افزار ETABS v9.7.4. انجام شد.



شکل ۵ : پلان تیریزی مدل‌های سازه‌ای.

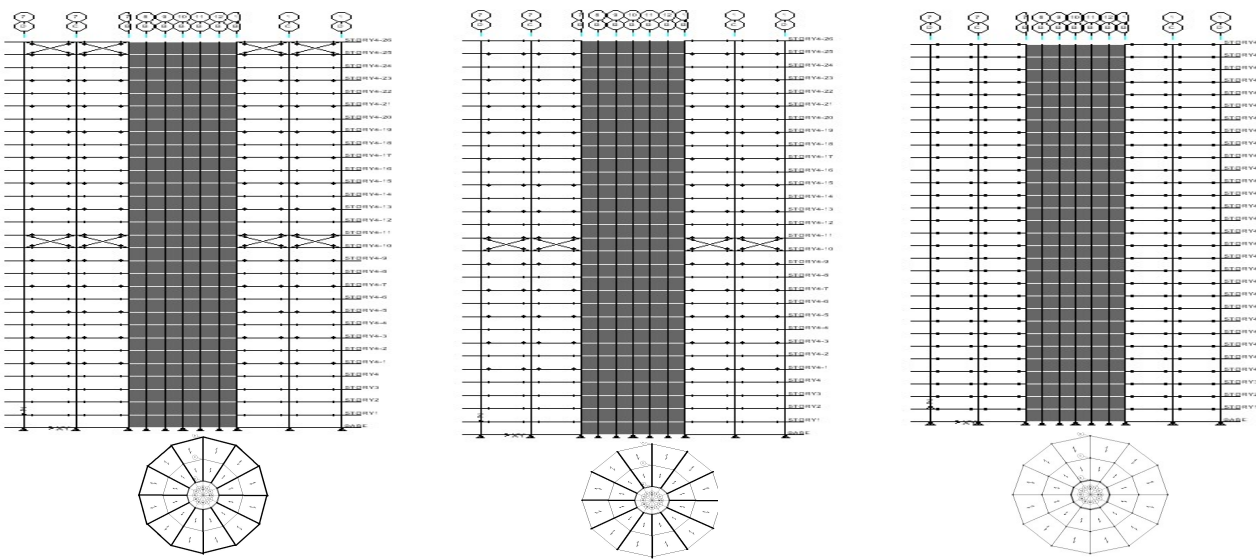
ضریب رفتار مدل‌های سازه‌ای برابر ۱۰ در نظر گرفته شد. ساختمان با اهمیت متوسط در زمین نوع ۲ در نظر گرفته شد. براساس استاندارد ۲۸۰۰ با توجه به ارتفاع ساختمان، تحلیل سازه با روش تحلیل طیفی انجام و به علت نزدیکی ضوابط آیین نامه UBC97-LRFD به مبحث دهم مقررات ملی ساختمان از آیین نامه مذکور جهت طراحی سازه در نرم افزار استفاده شد. فولاد مصرفی از نوع فولاد نرمه (ST37) با مقاومت تسلیم ۲۴۰۰ کیلوگرم بر سانتیمترمربع و مدول الاستیسیته  $21 \times 10^6$  کیلوگرم بر سانتیمترمربع و ضریب پواسن  $\frac{1}{3}$  در نظر گرفته شد. مدل‌های سازه‌ای با فرضیات مذکور تحلیل و براساس مقاومت مقاطع طراحی شدند [11,12]. جداول شماره ۱ و ۲ مدل‌های سازه‌ای مورد مطالعه شامل مشخصات سازه فولادی و هسته بتنی مرکزی را نشان میدهد. جدول ۱ تیپ بندی مدل‌های سازه‌ای مورد مطالعه را نشان می‌دهد. براساس جدول ۱ تعداد یک کلاهک خرپایی در موقعیت معرفی شده در نظر گرفته شده است. همچنین جدول ۲ ضخامت هسته مرکزی بتنی در ارتفاع سازه را نشان می‌دهد. شکل ۶ مدل‌های سازه‌ای مورد مطالعه در سازه ۳۰ طبقه را نشان میدهد.

جدول ۱ : معرفی مدل‌های سازه‌ای مورد مطالعه

موضعیت کلامک خرپایی در طبقه	موقعیت مهار بازویی در طبقه	تعداد مهار بازویی	تعداد طبقات	شماره مدل و ز (Mi-j)
---	---	---	---	M1-30
---	15	1	30	M2-30
30-15	---	2	40	M3-30
---	---	---	40	M1-40
20	---	1	40	M2-40
40-20	---	2	40	M3-40
---	---	---	50	M1-50
40-20	---	2	50	M2-50
50-40-20	---	3	50	M3-50

جدول ۲: معرفی موقعیت و ضخامت هسته بتون

Mi-j	ضخامت هسته (cm)	موقعیت در طبقات	Mi-j	ضخامت هسته (cm)	موقعیت در طبقات	Mi-j	ضخامت هسته (cm)	موقعیت در طبقات
M1-30	۵۰	۱ تا ۵	M1-40	۵۰	۱ تا ۱	M1-50	۵۰	۱ تا ۱
	۴۵	۶ تا ۱۰		۴۵	۶ تا ۱۰		۴۵	۶ تا ۱۰
	۴۰	۱۱ تا ۱۵		۴۰	۱۱ تا ۱۵		۴۰	۱۱ تا ۱۵
	۳۵	۱۶ تا ۲۰		۳۵	۱۶ تا ۲۰		۳۵	۱۶ تا ۲۰
	۳۰	۲۱ تا ۲۵		۳۰	۲۱ تا ۲۵		۳۰	۲۱ تا ۲۵
	۲۵	۲۶ تا ۳۰		۲۵	۲۶ تا ۴۰		۲۵	۲۶ تا ۴۰



شکل ۶: مدل‌های سازه با هسته مرکزی، مهار بازویی و کلاهک خرپایی در قاب ۳۰ طبقه (ارتفاع ۹۰ متر).

#### ۴- وزن اسکلت و برش پایه

جداول شماره ۳، ۴ و ۵ نتایج بدست آمده از طراحی مدل‌های سازه‌ای معرفی شده در وزن کل اسکلت سازه و برش پایه را نشان میدهد. در این جداول در هر سری از مدل‌های سازه‌ای مورد مطالعه وزن کل اسکلت سازه و برش پایه مدل شماره ۱ آن مدل به عنوان مینا در نظر گرفته شده و با مدل‌های مهار شده با مهار بازویی و کلاهک خرپایی مقایسه شده است. نتایج نشان میدهد که در قاب‌های ۴۰ و ۵۰ طبقه با اضافه شدن مهار بازویی و کلاهک خرپایی به سازه با هدف کنترل تغییر مکان جانبی، تغییر قابل توجه‌ای در وزن اسکلت سازه و برش پایه ایجاد نمی‌شود به طوریکه حداقل این تغییرات کمتر از ۱۰ درصد است. بنابراین با اضافه شدن مهار بازویی و کلاهک خرپایی به سازه و طراحی مقاطع سازه‌ای بر اساس مقاومت، بدون افزایش قابل توجه وزن، میتوان تغییر مکان جانبی را کنترل کرد.

جدول ۳: وزن کل سازه و برش پایه در مدل‌های سازه‌ای ۳۰ طبقه نسبت به مدل M1-30

مدل مورد مطالعه	وزن کل				وزن کل نسبت به M1
	برش پایه نسبت به M1	وزن نسبی تیر	وزن نسبی ستون	وزن نسبی مهار	
M1-30	۱/۰۰۰	۰/۶۰	۰/۴۰	---	۱/۰۰۰
M2-30	۱/۰۱۰	۰/۶۰	۰/۴۰	۰/۰۳	۰/۹۶۵
M3-30	۰/۹۹۴	۰/۶۰	۰/۴۰	۰/۰۵	۰/۹۶۵

جدول ۴: وزن کل سازه و برش پایه در مدل‌های سازه‌ای ۴۰ طبقه نسبت به مدل M1-40

مدل مورد مطالعه	وزن کل				وزن کل نسبت به M1
	برش پایه نسبت به M1	وزن نسبی تیر	وزن نسبی ستون	وزن نسبی مهار	
M1-40	۱/۰۰۰	۰/۴۶	۰/۵۴	---	۱/۰۰۰
M2-40	۱/۰۰۴	۰/۴۵	۰/۵۳	۰/۰۲	۱/۰۱۶
M3-40	۱/۰۱۷	۰/۴۵	۰/۵۳	۰/۰۳	۱/۰۳۲

جدول ۵: وزن کل سازه و برش پایه در مدل‌های سازه‌ای ۵۰ طبقه نسبت به مدل M1-50

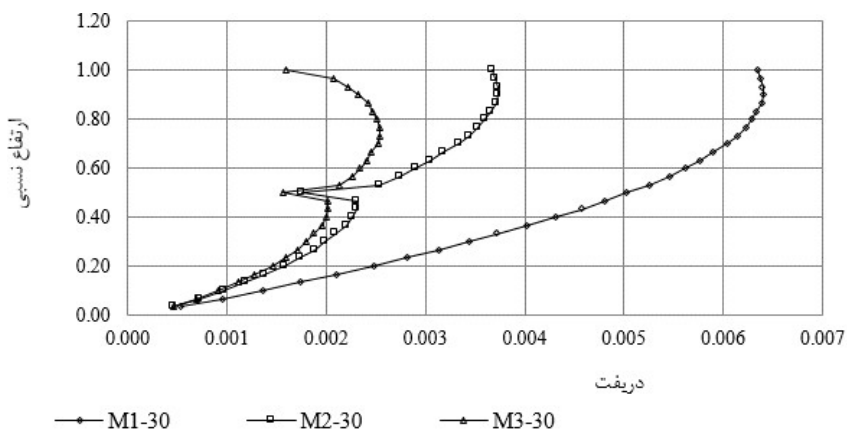
مدل مورد مطالعه	وزن کل				وزن کل نسبت به M1
	برش پایه نسبت به M1	وزن نسبی تیر	وزن نسبی ستون	وزن نسبی مهار	
M1-50	۱/۰۰۰	۰/۴۵	۰/۵۵	---	۱/۰۰۰
M2-50	۰/۹۹۸	۰/۴۴	۰/۵۴	۰/۰۱	۱/۰۱۴
M3-50	۱/۰۱۷	۰/۴۴	۰/۵۴	۰/۰۳	۱/۰۲۷

## ۵- زاویه دریفت جانبی

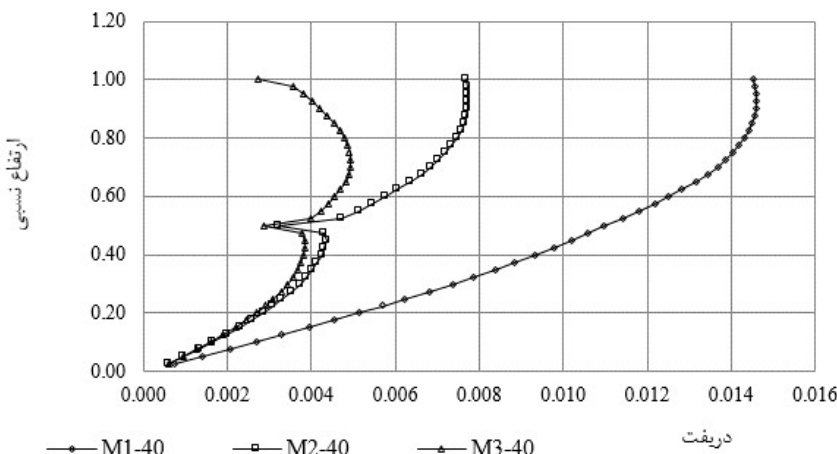
اصلی ترین پارامتر کنترل کننده طراحی سازه، مخصوصاً در سازه‌های بلند کنترل تغییرمکان جانبی سازه است. با توجه به این مهم در این بخش نتایج زاویه دریفت سازه (تغییرمکان جانبی نسبی دو طبقه متوالی تقسیم بر ارتفاع طبقه مورد نظر) در شکل‌های شماره ۷ تا ۹ مربوط به مدل‌های سازه‌ای ۳۰، ۴۰ و ۵۰ طبقه نشان داده شده است. شکل شماره ۷ زاویه دریفت مدل‌های سازه‌ای ۳۰ طبقه را نشان میدهد. از مقایسه سه مدل مورد نظر در سازه ۳۰ طبقه در این شکل کاهش قابل توجه زاویه دریفت سازه در استفاده از مهار بازویی در طبقه میانی M2-30 در کلیه طبقات حاصل می‌شود، مخصوصاً در طبقه ۱۵ که مهار بازویی در نظر گرفته شده است. همچنین در مدل M3-30 با اضافه شدن کلاهک خرپایی و مهار بازویی در طبقه ۳۰ علاوه بر طبقه ۱۵ کاهش زاویه دریفت در همه طبقات نسبت به مدل M2-30 مخصوصاً در طبقه ۳۰ ملاحظه می‌شود. در طبقه انتهایی مدل M2-30 حدود ۳۰ درصد کاهش زاویه دریفت سازه نسبت به مدل M1-30 و مدل M3-30 حدود ۷۰ درصد کاهش نسبت به مدل M1-30 را نشان میدهد. همچنین در طبقات میانی با استفاده از مهار بازویی کاهش قابل توجه زاویه دریفت در سازه حدود ۷۰ درصد کاهش زاویه دریفت مشاهده می‌شود.

شکل ۸ زاویه دریفت مدل‌های سازه‌ای ۴۰ طبقه شامل M1-40 و M2-40 و M3-40 را نشان می‌دهد. از مقایسه سه مدل مورد نظر در سازه ۴۰ طبقه در این شکل کاهش قابل توجه زاویه دریفت سازه در استفاده از مهار بازویی در طبقه میانی در مدل M2-40 در کلیه طبقات حاصل می‌شود خصوصاً در طبقه ۲۰ که مهار بازویی در نظر گرفته شده است. همچنین در مدل M3-40 با اضافه شدن کلاهک

خرپایی و مهار بازویی در طبقه ۴۰ علاوه بر طبقه ۲۰ کاهش زاویه دریفت در همه طبقات نسبت به مدل M2-40 خصوصاً در طبقه ۴۰ نتیجه می‌شود. در مقایسه ۳ مدل سازه ۴۰ طبقه در طبقه انتهایی در مدل M2-40 حدود ۶۳ درصد کاهش و در مدل M3-40 حدود ۷۵ درصد کاهش زاویه دریفت نسبت به مدل M1-40 نتیجه شد. همچنین در طبقه میانی سازه در مدل M2-40 و M3-40 حدود ۷۵ درصد کاهش زاویه دریفت مشاهده شد که کاهش قابل توجه زاویه دریفت با عدم کاهش وزن قابل توجه نتیجه شده از بخش قبل میتواند بسیار اقتصادی باشد.

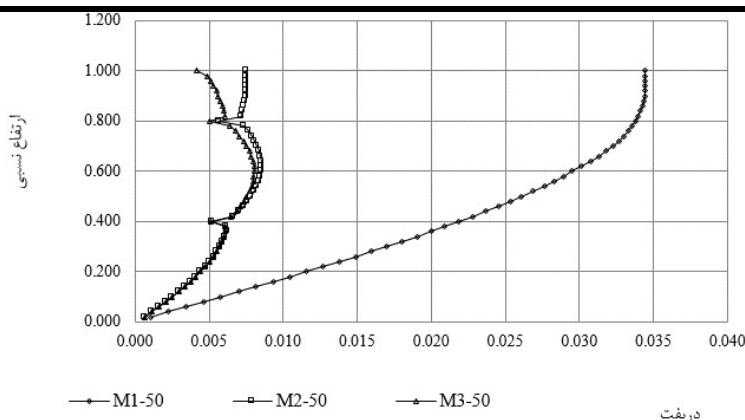


شکل ۷: مقایسه زاویه دریفت مدل‌های سازه‌ای ۳۰ طبقه.



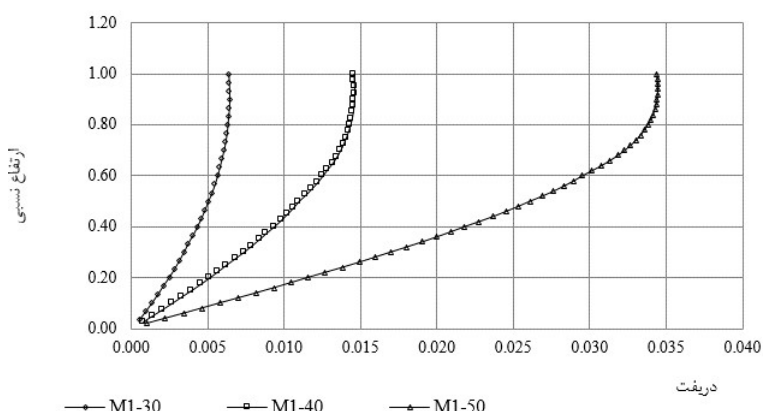
شکل ۸: مقایسه زاویه دریفت مدل‌های سازه‌ای ۴۰ طبقه.

شکل ۹ مدل‌های سازه‌ای ۵۰ طبقه شامل M1-50، M2-50 و M3-50 را نشان میدهد. در این شکل کاهش قابل توجه زاویه دریفت در مدل‌های M2-50 و M3-50 نسبت به مدل M1-30 اهمیت کاربرد مهار بازویی و کلاهک خرپایی را در کاهش زاویه دریفت نشان میدهد. از مقایسه سه مدل مورد نظر در سازه ۵۰ طبقه در این شکل کاهش قابل توجه زاویه دریفت سازه در همه طبقات در استفاده از مهار بازویی در طبقات ۲۰ و ۴۰ مدل M2-50 مشاهده می‌شود. همچنین در مدل M3-50 با اضافه شدن کلاهک خرپایی و مهار بازویی در طبقه ۵۰ علاوه بر مهار بازویی در طبقات ۲۰ و ۴۰ کاهش زاویه دریفت در همه طبقات نسبت به مدل M2-50 ملاحظه می‌شود. بطوریکه به طور متوسط حدود ۷۵ درصد کاهش زاویه دریفت در مدل‌های M2-50 و M3-50 در همه طبقات نسبت به مدل M1-50 مشاهده شد.

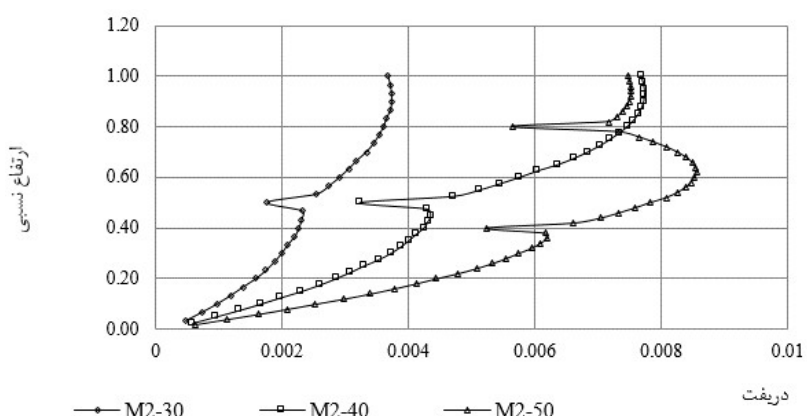


شکل ۹: مقایسه زاویه دریفت مدل‌های سازه ای ۵۰ طبقه.

شکل های ۱۰، ۱۱ و ۱۲ سیستم مورد مطالعه را در مدل‌های سازه ای مورد نظر با افزایش ارتفاع سازه نشان میدهد. شکل ۱۰ مدل M1 را در سازه های ۴۰، ۳۰ و ۵۰ طبقه نشان میدهد. از این نمودار این طور نتیجه میشود که با افزایش ارتفاع سازه مقاوم سازه‌ای در این مدل، که تنها هسته مرکزی عمل میکند، مانند تیر طره بوده و با افزایش تعداد طبقات و ارتفاع سازه زاویه دریفت جانبی افزایش می‌یابد. به طوریکه در طبقه انتهای با حداقل زاویه دریفت افزایش حدود ۵۷ درصد در مقدار زاویه دریفت در مدل ۵۰ طبقه نسبت به مدل ۴۰ طبقه و در مدل ۴۰ طبقه افزایش حدود ۶۰ درصد در مقدار زاویه دریفت جانبی نسبت به مدل ۳۰ طبقه مشاهده شد.

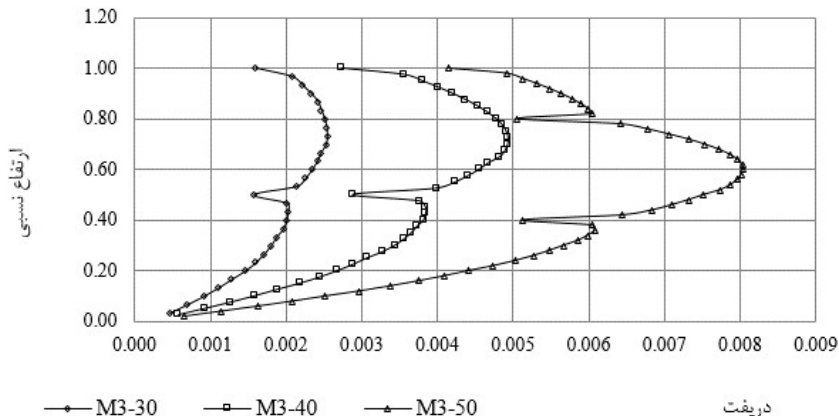


شکل ۱۰: مقایسه زاویه دریفت مدل سازه‌ای M1 در ارتفاع.



شکل ۱۱: مقایسه زاویه دریفت مدل سازه‌ای M2 در ارتفاع.

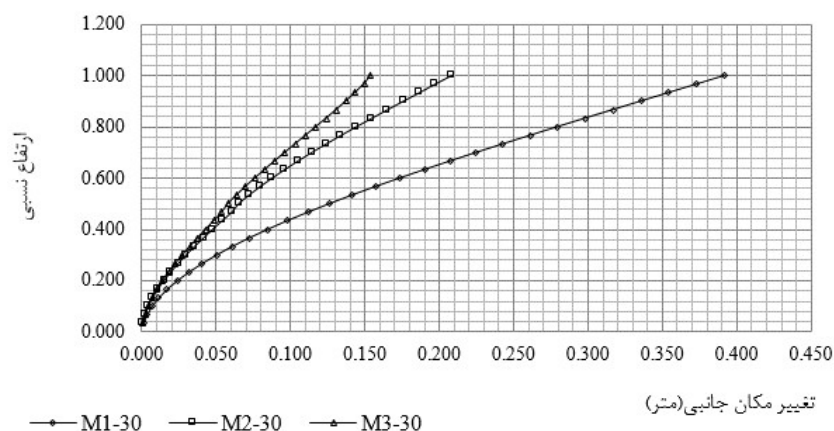
همچنین شکل ۱۱ تغییرات زاویه دریفت سازه در مدل M2 مدل‌های سازه‌ای ۳۰، ۴۰ و ۵۰ طبقه نشان میدهد بر اساس نمودارهای این شکل حداکثر اختلاف زاویه دریفت مدل ۵۰ طبقه ۲۵ درصد افزایش زاویه دریفت را نسبت به مدل ۴۰ طبقه را نشان می‌دهد و زاویه دریفت مدل ۴۰ طبقه حدود ۵۰ درصد افزایش نسبت به مدل ۳۰ طبقه را نشان میدهد. بر اساس شکل ۱۲ در مدل سازه ۵۰ طبقه حداکثر ۴۰ درصد افزایش زاویه دریفت جانبی نسبت به مدل ۴۰ طبقه و حدود ۵۰ درصد افزایش زاویه دریفت در مدل ۴۰ طبقه نسبت به مدل ۳۰ طبقه مشاهده می‌شود.



شکل ۱۲ : مقایسه زاویه دریفت مدل سازه‌ای M3 در ارتفاع.

## ۶- تغییر مکان جانبی

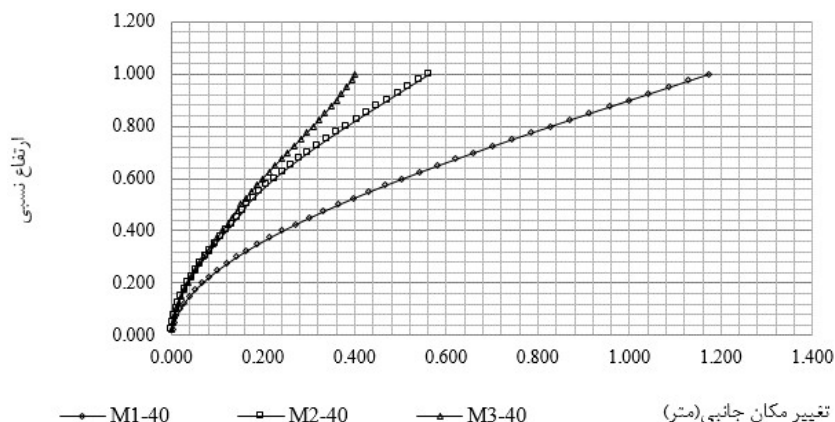
شکل‌های ۱۳، ۱۴ و ۱۵ تغییر مکان جانبی مدل‌های سازه‌ای ۳۰، ۴۰ و ۵۰ طبقه را در ارتفاع نشان می‌دهد. کاهش تغییر مکان جانبی بدلیل استفاده از مهار بازویی و کلاهک خرپایی در شکل ۱۳ مشهود است، به طوریکه حداکثر تغییر مکان جانبی سازه که در طبقه آخر مدل ۳۰ طبقه اتفاق می‌افتد با استفاده از مهار بازویی تقریباً ۵۰ درصد و در استفاده از مهار بازویی و کلاهک خرپایی حدود ۶۰ درصد کاهش می‌یابد.



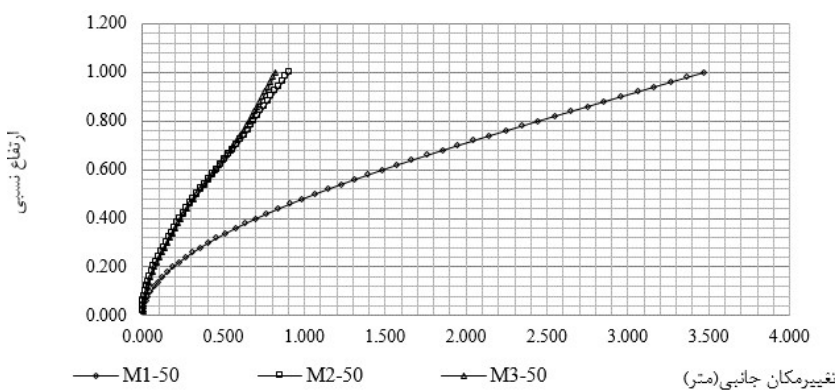
شکل ۱۳ : تغییر مکان جانبی مدل‌های ۳۰ طبقه در ارتفاع.

همچنین در شکل ۱۴ در مدل سازه‌ای ۴۰ طبقه نیز استفاده از مهار بازویی کاهش ۵۲ درصد و مهار بازویی و کلاهک خرپایی حدود ۷۰ درصد کاهش تغییر مکان جانبی طبقه آخر را نشان می‌دهد در بقیه طبقات مدل سازه‌ای ۴۰ طبقه نیز مدل‌های M2-40 و M3-40 حدود ۵۰ درصد تغییر مکان جانبی را نسبت به مدل ۴۰ M1-40 کاهش می‌دهد. نتایج مذکور در کاهش تغییر مکان جانبی در مدل سازه‌ای

۵۰ طبقه نیز مشهود و قابل توجه‌تر از دو مدل ۳۰ و ۴۰ طبقه است به طوریکه در طبقه بام حدود ۸۰ درصد کاهش تغییر مکان جانبی در مدل‌های M1-50 و M2-50 نسبت به مدل M3-50 نتیجه شده است. در بقیه طبقات نیز به طور متوسط ۷۰ درصد کاهش تغییر مکان جانبی در مدل‌های M1-50 و M2-50 نسبت به مدل M3-50 مشاهده شده است.



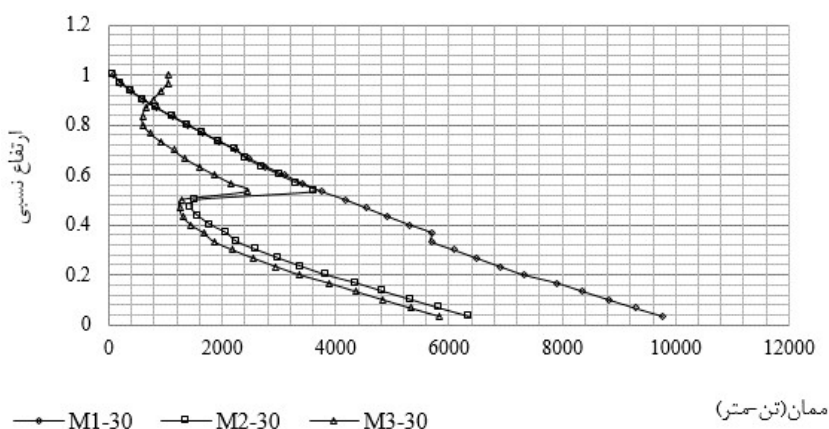
شکل ۱۴: تغییر مکان جانبی مدل‌های ۴۰ طبقه در ارتفاع.



شکل ۱۵: تغییر مکان جانبی مدل‌های ۵۰ طبقه در ارتفاع.

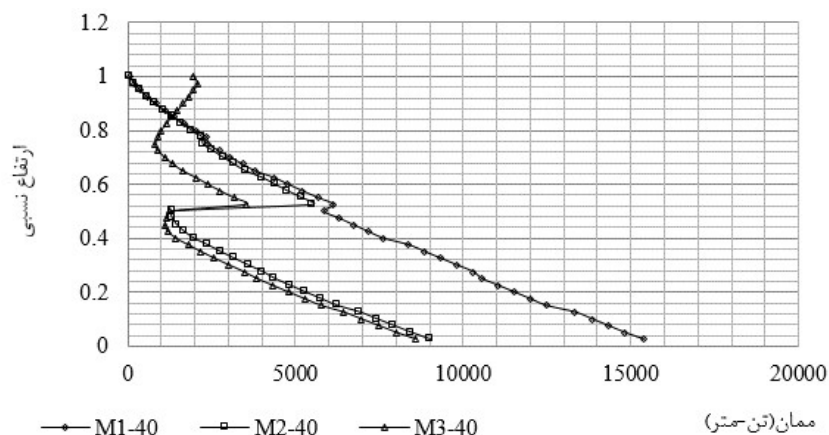
## ۷- بررسی ممان و تنش در هسته مرکزی

شکل ۱۶ ممان خمسمی وارد بر هسته بتنی را در مدل‌های M1-30، M2-30 و M3-30 در حدود ۵۰ درصد به مدل‌های سازه‌ای ۳۰ طبقه نشان می‌دهد. از این شکل مشاهده می‌شود هسته بتنی مرکزی مانند تیر طره عمل کرده و حداکثر ممان ناشی از بار جانبی در پای هسته بوجود می‌آید و مدل‌های با مهار جانبی و کلاهک خرپایی بر مقدار این ممان موثر بوده و آن را کاهش میدهند، به طوریکه در طبقه‌ای که مهار بازویی وجود دارد کاهش ناگهانی در حدود ۵۰ درصد در مقدار ممان مشاهده می‌گردد. در مقایسه نمودارهای M1-30 با M2-30 در حدود ۵۰ درصد فرقانی سازه که ممان‌های وارد بر هسته بتنی دقیقاً بر هم منطبق هستند و در محل وجود مهار بازویی، در طبقه ۱۵ (وسط سازه ۳۰ طبقه)، کاهش ۵۰ درصدی مقدار ممان اتفاق افتاده و موجب کاهش ممان وارد بر هسته در ۵۰ درصد تحتانی سازه شده است.

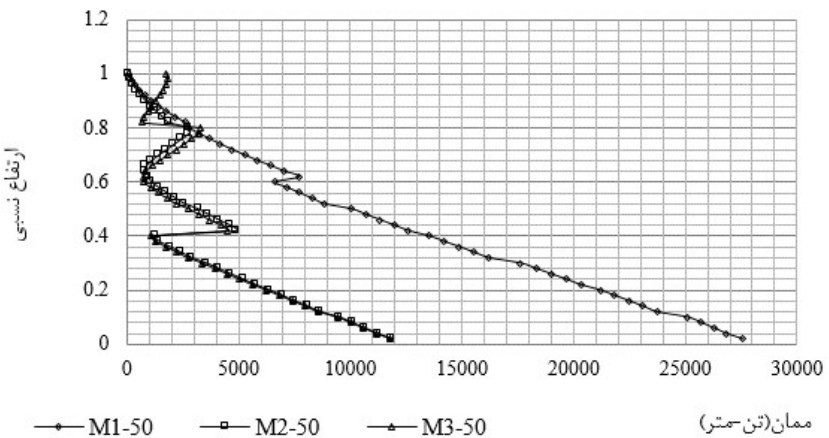


شکل ۱۶ : ممان خمسی هسته بتُنی مدل‌های ۳۰ طبقه در ارتفاع.

همچنین از مقایسه نمودار M3-30 با نمودارهای M1-30 و M2-30 در شکل ۱۶ نتیجه می‌شود که کلاهک خرپایی در طبقه انتهایی، ممان منفی کمی به سازه اعمال می‌کند ولی در حالت کلی با وجود کلاهک خرپایی و مهار بازویی در طبقه آخر علاوه بر مهار بازویی در طبقه میانی، ممان وارد بر هسته بتُنی را در همه طبقات تا ۵۰ درصد کاهش میدهد.



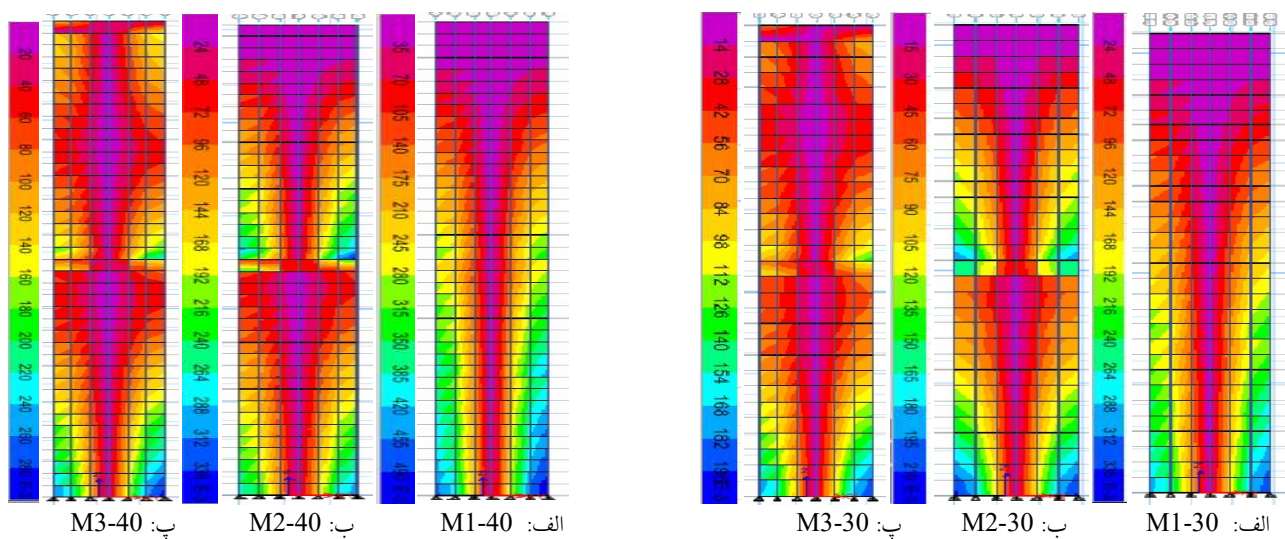
شکل ۱۷ : ممان خمسی هسته بتُنی مدل‌های ۴۰ طبقه در ارتفاع.



شکل ۱۸ : ممان خمسی هسته بتُنی مدل‌های ۵۰ طبقه در ارتفاع.

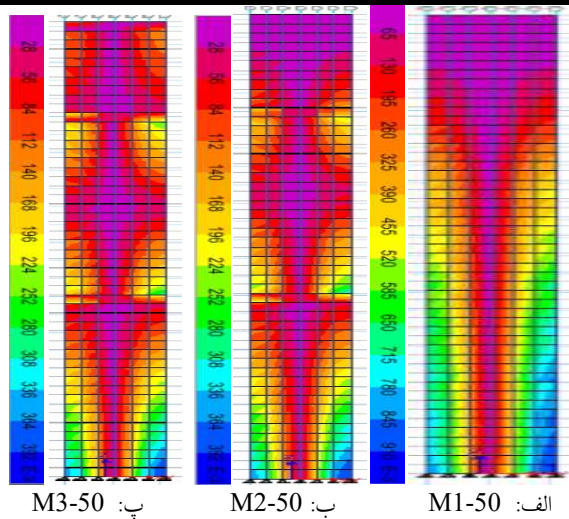
بر اساس شکل ۱۷ در مدل‌های سازه‌ای ۴۰ طبقه اثرات استفاده از مهار بازویی در مدل M2-40 و مهار بازویی و کلاهک خرپایی در مدل M3-40 بر ممان خمشی هسته بتنی نسبت به مدل هسته بتنی تنها در مدل M1-40 کاملاً مشهود است. به طوریکه در مقایسه ممان خمشی هسته بتنی M1-40 و M2-40 در کل ارتفاع سازه، در ۵۰ درصد تحتانی سازه تا ۸۰ درصد کاهش ممان هسته با استفاده از مهار بازویی در طبقه میانی سازه در مدل M2-40 نسبت به مدل M1-40 مشاهده می‌شود. این نتیجه برای مدل M3-40 نیز در ۵۰ درصد تحتانی بتنی در قرار بوده و شرایط ۵۰ درصد فوقانی نیز در این مدل بدلیل وجود کلاهک خرپایی و مهار بازویی در طبقه آخر تا ۶۰ درصد ممان هسته بتنی را در ۵۰ تا ۸۰ درصد فوقانی سازه کاهش میدهد. نتایج ممان خمشی هسته بتنی مطابق با شکل ۱۸، در مدل ۵۰ طبقه در ارتفاع سازه نیز کاهش ممان وارد بر هسته بتنی در مدل‌های با مهار بازویی و کلاهک خرپایی را نشان میدهد، بطوریکه ممان خمشی وارد بر هسته بتنی در مدل‌های M2-50 و M3-50 تقریباً بر هم منطبق بوده و به طور متوسط ۶۵ درصد کاهش ممان خمشی در ۸۰ درصد ارتفاع واضح است.

شکل‌های ۱۹، ۲۰ و ۲۱ حداکثر تنش‌های وارد بر هسته مرکزی ناشی بار جانبی را نشان می‌دهد. در این شکل‌ها حداکثر تنش‌های ایجاد شده در هسته بتنی از ماکریم مقدار تنش به ترتیب با رنگ‌های آبی پرنگ، آبی، آبی کمرنگ، سبز، زرد، قرمز و بنفش نشان داده شده است. همچنین مقادیر تنش مربوط به هر رنگ جهت مقایسه بهتر نشان داده شده است. در مقایسه کلی تنش مربوط به ۳ مدل سازه ای ۳۰ طبقه در شکل ۱۹ مشاهده می‌شود در مدل ۳۰ M3-30 حداکثر طیف رنگ قابل مشاهده بنفش و قرمز است و در مدل‌های M2-30 و M1-30 این رنگ‌ها بترتیب در طبقات فوقانی و طبقه میانی مشاهده می‌شود. از نوع توزیع تنش در طبقات میتوان در مدل ۳۰ M1-30 حداکثر تنش در پای هسته و محل تشکیل مفصل پلاستیک را در این ناحیه پیش بینی کرد در حالیکه با استفاده از مهار بازویی در مدل M2-30 تنش را در پای هسته و محول تشکیل مفصل پلاستیک که نشان دهنده تعدیل تنش و افزایش شکل پذیری سازه است. موارد مذکور در مدل‌های سازه ای ۴۰ و ۵۰ طبقه نیز مطابق با شکل‌های ۲۰ و ۲۱ کاملاً واضح و قابل نتیجه‌گیری است.



شکل ۲۰ : تنش هسته مرکزی در مدل‌های ۴۰ طبقه در ارتفاع.

شکل ۱۹ : تنش هسته مرکزی در مدل‌های ۳۰ طبقه در ارتفاع.



شکل ۲۱: تنش هسته مرکزی در مدل‌های ۵۰ طبقه در ارتفاع.

## ۸- نتیجه گیری

از مقایسه نتایج تغییر مکان جانبی در طبقات در مدل‌های سازه‌ای ۳۰، ۴۰ و ۵۰ طبقه مشاهده می‌شود که با استفاده از مهار بازویی و کلاهک خرپایی در سیستم سازه فولادی با هسته بتنی کاهش قابل توجهی در تغییر مکان جانبی در همه طبقات سازه ایجاد می‌شود. با توجه به اینکه سیستم سازه‌ای قاب فولادی با اتصالات مفصل به هسته بتنی است، در این سیستم سازه مقاوم اصلی در برابر بار جانبی، هسته بتنی است که همانند تیر طره با اتصال گیردار در پای سازه عمل کرده و حداکثر تغییر مکان جانبی را در طبقه فوقانی سازه دارد. در این نوع سازه‌ها استفاده از کلاهک خرپایی و مهار بازویی بدليل ایجاد سختی بالا در طبقه فوقانی سازه، به شدت تغییر مکان جانبی سازه را کاهش داده و عاملی موثر در کنترل تغییر مکان جانبی سازه است. نتایج بررسی تغییرات وزن سازه با مهار بازویی و کلاهک خرپایی در مدل‌های سازه‌ای مورد مطالعه، عدم تغییر قابل توجه وزن سازه همراه با کاهش محسوس زاویه دریفت، اقتصادی و بهینه بودن سازه با استفاده از مهار بازویی و کلاهک خرپایی نسبت به سازه بدون مهار بازویی و کلاهک خرپایی را نشان می‌دهد. همچنین نتایج تحلیل مدل‌های سازه ای در این مقاله حداقل ۵۰ درصد کاهش در تغییر مکان جانبی سازه در طبقات، تا ۸۰ درصد کاهش ممان خمشی وارد بر هسته مرکزی بتنی در استفاده از مهار بازویی و کلاهک خرپایی نسبت به حالت بدون مهار بازویی و کلاهک خرپایی نشان داد. بررسی نتایج توزیع تنش وارد بر هسته در موارد استفاده از مهار بازویی و کلاهک خرپایی نشان داد در استفاده از این سیستم‌ها تنش ماقریم علاوه بر پای هسته، در طبقات دارای مهار بازویی و کلاهک خرپایی با کاهش حداکثر مقدار تنش، بوجود می‌آید و توزیع تنش در طبقات یکنواخت‌تر و امکان افزایش تعداد مفاصل پلاستیک در ارتفاع هسته و افزایش شکل پذیری سازه، نسبت به حالت بدون مهار بازویی و کلاهک خرپایی نتیجه شد.

## مراجع

- [۱] استفرد اسمیت، ب؛ کول، ا؛ حاجی کاظمی، ح (متترجم)؛ «آنالیز و طراحی سازه‌های بلند»؛ انتشارات دانشگاه فردوسی مشهد، سال ۱۳۹۲.
- [۲] خیر الدین، ع؛ آرامش، س؛ «سیستم‌های مقاوم سازه‌ای در ساختمان‌های بلند»؛ انتشارات دانشگاه سمنان، چاپ دوم، ۱۳۹۴.
- [۳] حاجی میر اسماعیل، س.م؛ «بررسی رفتار دینامیکی ساختمان‌های بلند مهاربندی شده با کمریند خرپایی»؛ پایان نامه کارشناسی ارشد، دانشکده مهندسی عمران دانشگاه سمنان، شهریور ماه ۱۳۸۹.
- [۴] گانگ شولر و؛ عادلی، ح (متترجم)؛ «سازه‌های ساختمان بلند»؛ انتشارات دهدخدا، چاپ پنجم، ۱۳۷۶.
- [۵] Fawzia,S. and Fatima,T. ; "Deflection Control in Composite Building by Using Belt Truss and Outriggers Systems"; International Journal of Civil, Environmental, Structural, Construction and Architectural Engineering Vol:4, No:12, 2010.

- [6] Jahanshahi, M.R. and Rahgozar.R. ; "Optimum Location of Outrigger-belt Truss in Tall Buildings Based on Maximization of the Belt Truss Strain Energy"; International Journal of Engineering, Vol. 26, No. 7, (July 2013) 693-700.
- [7] Raj Kiran Nanduri, P.M. and Suresh, B. and Ihtesham Hussain, MD. ; "Optimum Position of Outrigger System for High-Rise Reinforced Concrete Buildings Under Wind And Earthquake Loadings"; American Journal of Engineering Research (AJER), e-ISSN : 2320-0847 p-ISSN : 2320-0936 Volume-02, Issue-08, pp-76-89-2013.
- [8] Eltobgy, H.; "Optimum belt truss locations to enhance the structural performance of high-rise steel buildings"; WULFENIA JOURNAL KLAGENFURT.AUSRIA. Vol 20, No. 6; Jun 2013.
- [9] Moinuddin, M.I and Afroz Khan, M.; "A Study for The Optimum Location of Outriggers for High-Rise Concrete Buildings "; International Journal of Advanced Trends in Computer Science and Engineering, Vol.2 , No.1, Pages : 628 - 633 (2013).
- [10] وزارت راه و شهرسازی، «آیین نامه طراحی ساختمانها در برابر زلزله- ویرایش چهارم، ۱۳۹۳».
- [11] UBC, 1997, Uniform Building Code, International Conference of Building Officials, Whitter, California, 1997.